

III-22 破砂のせん断特性

九州産業大学大学院 学生員。前原慶三
 九州産業大学工学部 正会員 石堂穂
 同上 正会員 関直三郎

1. まえがき 破砂を締める場合粒子間の角張りに起因する抵抗を少くするために e_{max} , e_{min} の値も丸末をもつた砂に対してかなり異る、た値を示すことは筆者らも報告したが、それともとてたした資料の整理をすればかなり各当な試験結果の評価をすることができる。破砂についての特性については、ある程度のことは報告をされてるが、ここではさらには基本的な性質を調べる一つの過程としてヒズミ特性や S_r との関係について述べることにした。

2. 試料および実験方法 試料は福岡県遠賀郡産道路用砕石を 0.84 mm , 0.42 mm , 0.25 mm , 0.105 mm の各フルイでフルイ。4種類の試料を使用し、所定の含水比にし、約24時間養生し、所定の間隔比になるよう直径 5.0 cm 、高さ 12.0 cm の盤体に詰め圧密挿抗試験を行なった。側圧は (0.3 , 0.6 , 0.9 kg/cm^2)、ヒズミ速度は 1 mm/min である。試料の諸特性は表-1 に示すとおりである。

試料 (mm)	均等係数(Cu)	D_{max} (mm)	D_{60} (mm)	e_{max}	e_{min}
粒径 $2.00 \sim 0.84$	1.52	2.00	1.10	1.25	0.77
$0.84 \sim 0.42$	1.42	0.84	0.63	1.30	0.78
$0.42 \sim 0.25$	1.31	0.42	0.32	1.35	0.79
$0.25 \sim 0.105$	1.54	0.25	0.177	1.43	0.80

表-1

3. 実験結果ならびに考察

(a) 応力-ヒズミ 三軸試験による応力-ヒズミを両対数グラフにプロットし、曲線の降伏点を求めて図-1 に示すように最初の第1降伏点ヒズミを ϵ_{y1} とし、そこまでを弾性域と考え次の第2降伏点を ϵ_{y2} として、 ϵ_{y1} から ϵ_{y2} までを擬似弾性域と考え、破壊ヒズミを ϵ_f とし、 ϵ_{y2} から ϵ_f までを塑性域と考える。図-2 は粒径 $0.84 \sim 0.42\text{ mm}$ と粒径 $0.42 \sim 0.25\text{ mm}$ 試料についての第1降伏点ヒズミと飽和度 S_r との関係を示した図である。側圧 0.3 kg/cm^2 のときは飽和度に關係なくほぼ一定値の $\epsilon_{y1} = 0.356\%$ 程度を示す。 $\sigma_3 = 0.6\text{ kg/cm}^2$ において、 $S_r \leq 26\%$ では $\epsilon_{y1} = 0.380\%$, $\sigma_3 = 0.9\text{ kg/cm}^2$ で、 $S_r \leq 23\%$ の場合は $\epsilon_{y1} = 0.398\%$ を示すが、それ以上飽和度では次第に小さくなり $S_r = 35\%$ では $\epsilon_{y1} = 0.356\%$ に収束する傾向にある。このことから側圧に關係なく弾性的挙動を示す範囲のヒズミの上限は一定してくることを示してある。図-3 は粒径 $0.84 \sim 0.42\text{ mm}$, $0.42 \sim 0.25\text{ mm}$ 試料についての第2降伏点 ϵ_{y2} と飽和度との関係を示したものである。側圧の増加と共に、 ϵ_{y2} は小さくなり、すなわち全般破壊の傾向を示す。また飽和度が大きくなるに従って、いずれの側圧においても ϵ_{y2} は増加し $S_r = 40 \sim 50\%$ 以上では $\epsilon_{y2} = 4.5\%$ 程度に

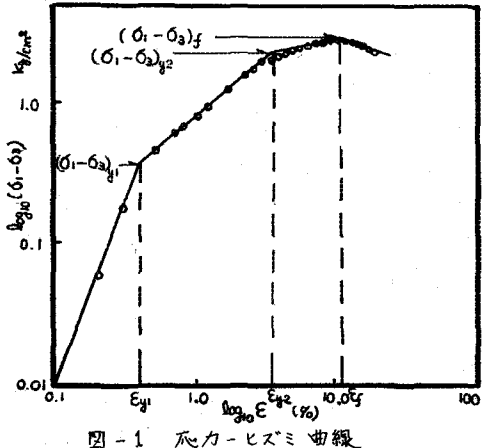


図-1 応力-ヒズミ曲線

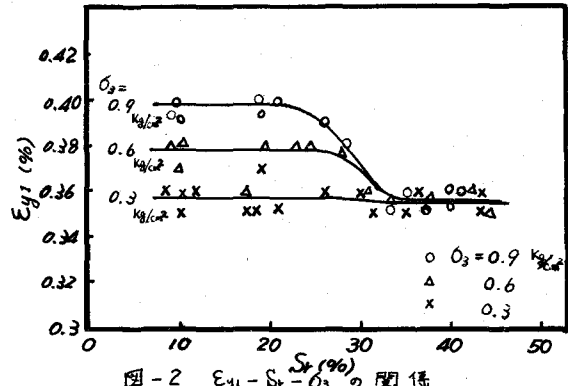


図-2 $\epsilon_{y1} - S_r - \sigma_3$ の関係

収束する傾向にある。拘束圧が大きくなると予压密的な効果が生じることや、粒子間摩擦力が大きく粒子間に噛み合いで抵抗も増加して粒子が動きにくくなり、飽和度 S_r が増加してくると潤滑作用効果として粒子間マツカの低下やインターロッキング効果が減少し、密づけや拘束圧の高さとの特徴に影響を与える。動きやすくなることがビズミを大きくする原因と考えられる。図-4は E_{y1} 、 E_{y2} における $(\sigma_1 - \sigma_3)_{y1}$ 、 $(\sigma_1 - \sigma_3)_{y2}$ と $(\sigma_1 - \sigma_3)_{max}$ の比の一例を示した。 E_{y2} における値は相対密度、飽和度 S_r の大きさにかかわらず 0.9 前後の値を示す。 E_{y1} における値は飽和度が大きくなると漸減し、水の影響を直接受けていることがわかる。

(b) 内部まさつ角

図-5は、相対密度 D_r と内部摩擦角 ϕ との関係を示したものである。実線部分は昭和42年に行なわれた、土質工学会の一有セン断試験及び三軸圧縮試験による内部摩擦角 ϕ と間げき比の関係を試料で使った豊浦砂 ($e_{max} = 0.97$, $e_{min} = 0.695$) を相対密度 D_r で整理して実線部分で範囲を示した。この図から明らかなくないうに、粒径 $0.25 \sim 0.105$ mm 試料を除き、一有セン断試験及び三軸試験値の範囲内に入ってくる。このことは、形状、粒度、粒径を考慮した相対密度 D_r を用いつて砂全般の内部摩擦角 ϕ の値を一般的に表示することが可能であることが証明される。従って N 値から内部摩擦角 ϕ を算定する場合でも、 N 値から直接内部摩擦角 ϕ を算定するのではなく、相対密度 D_r を介して求めることがより合理的であることがわかる。

4. おわりに

砂砂のセント特性の一部について傾向を述べたが、さりに多くの砂の種類、状態について実験を重ねる必要があり、研究を進めていく。最後に実験に協力してもらつた、卒論生、武田利典君、中山陽之君、植永敏治君、鎌田伸一君の諸君に謝意を表す。

参考文献

土質工学会「土のセント試験法に関する基礎的研究」

石堂 稔「砂の変形特性について」

前原、石堂、田中「砂砂の諸特性におよぼす粒径の影響」1978年土木学会西部支部講演集。

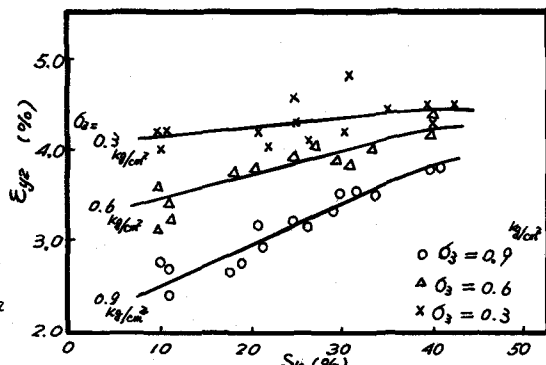


図-3 $E_{y2}^2 - S_r - \sigma_3$ の関係

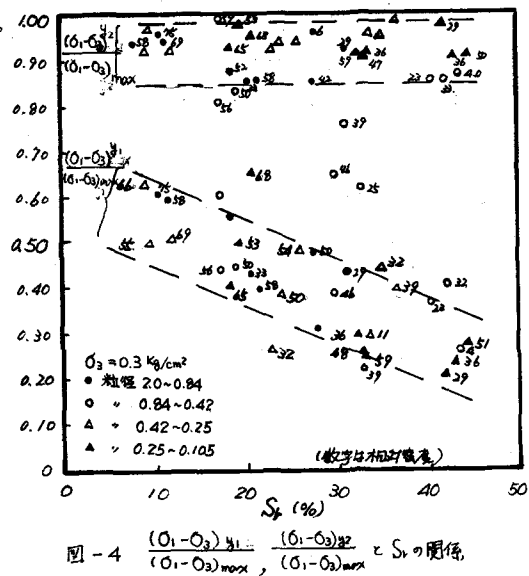


図-4 $\frac{(\sigma_1 - \sigma_3)_{y1}}{(\sigma_1 - \sigma_3)_{max}}$ と S_r の関係

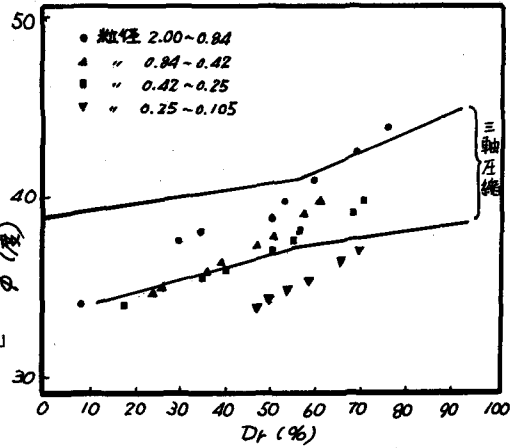


図-5 ϕ と D_r の関係